

УДК 539.3:539.375

РАСПРОСТРАНЕНИЕ СПИНОВЫХ ВОЛН В  
ПЕРИОДИЧЕСКОЙ СЛОЙСТОЙ СРЕДЕ

Саакян С.Л.

Ս.Լ. Սահակյան

Սպինովի ալիքների տարածումը պարբերական շերտերով միջավայրում

Աշխատանքը նվիրված է կտոր առ կտոր համաստ պարբերական ֆերոմագնիսական միջավայրում սպինային ալիքների տարածմանը: Դիտարկվում է տարբեր ֆերոմագնիսական հատկություններ ունեցող կրկնությունները, առանձական առումով կոչու, շերտերի պարբերական հաջորդմանը կառուցվածքի դեպքը: Ցույց է տրված, որ միջավայրի անհամասնության հաշվարկը, ի տարբերություն համաստ միջավայրում ալիքների տարածման դեպքի, կարող է որպասպես և քանակական ազդեցություն ասկինային ալիքների տարածման վրա:

S.L. Sahakyan

Propagation of spin waves in a periodic stratified medium

Работа посвящена изучению распространения спиновых волн в периодической кусочно-однородной ферромагнитной среде. Рассматривается случай жесткой, в упругом смысле, структуры с чередованием двух слоев с различными ферромагнитными свойствами. Показано, что учет неоднородности среды может качественно и количественно изменить картину распространения спиновых волн по сравнению со случаем распространения волн в однородной среде.

### Постановка задачи

Рассмотрим задачу о распространении спиновых волн в жесткой (в упругом смысле) многослойной ферромагнитной среде, состоящей из двух попарно чередующихся однородных слоев толщиной  $h_1$  и  $h_2$  соответственно, показанную на фиг. 1. Здесь индексом (1) обозначен слой  $0 < x_2 < h_1$ , а индексом (2) — слой  $-h_2 < x_2 < 0$  ферромагнитной среды. Предполагается, что фоновое отклоняющее поле  $\tilde{H}_0$  направлено вдоль оси  $x_3$ , т.е.  $\tilde{H}_0 = (0, 0, H_0)$ ,  $H_0 = \text{const}$ ,  $H_0 > 0$ , а направление распространения волн совпадает с осью  $x_1$ , т.е. перпендикулярно к направлению  $\tilde{H}_0$ . Равновесное значение магнитного спина в ( $j$ )-ом слое обозначается через  $\tilde{\mu}_{0j} = (0, 0, \mu_{0j})$ ,  $\mu_{0j} = \text{const}$ ,  $j = 1, 2$ .

Будем отдельно рассматривать случаи параллельности  $\tilde{\mu}_{01}$  и  $\tilde{\mu}_{02}$  ( $\tilde{\mu}_{01} \uparrow\uparrow \tilde{\mu}_{02}$ ) и антипараллельности  $\tilde{\mu}_{01}$  и  $\tilde{\mu}_{02}$  ( $\tilde{\mu}_{01} \uparrow\downarrow \tilde{\mu}_{02}$ ). На фиг. 1 приведен случай, когда оба вектора  $\tilde{\mu}_{0j}$  параллельны вектору  $\tilde{H}_0$ . Обозначим через  $\tilde{\mu}^{(j)} = (\mu_1^{(j)}, \mu_2^{(j)}, 0)$  компоненту возмущения вектора

магнитного спина, перпендикулярную к  $\vec{\mu}_0$ . При пренебрежении обменными эффектами, уравнения движения магнитного момента в каждом слое имеют вид [1,2]

$$\begin{aligned} \frac{\partial \mu_1^{(j)}}{\partial t} - \hat{b}_j \omega_0 \mu_2^{(j)} &= \gamma_0 \mu_0 \frac{\partial \Phi^{(j)}}{\partial x_2} \\ \frac{\partial \mu_2^{(j)}}{\partial t} + \hat{b}_j \omega_0 \mu_1^{(j)} &= -\gamma_0 \mu_0 \frac{\partial \Phi^{(j)}}{\partial x_1} \\ \frac{\partial^2 \Phi^{(j)}}{\partial x_1^2} + \frac{\partial^2 \Phi^{(j)}}{\partial x_2^2} &= \rho_j \left( \frac{\partial \mu_1^{(j)}}{\partial x_1} + \frac{\partial \mu_2^{(j)}}{\partial x_2} \right), \quad (j=1,2) \end{aligned} \quad (1)$$

Здесь  $M_{0j} = \rho_j \mu_0$ ,  $\omega_{0j} = \rho_j \gamma_0 \mu_0$ ,  $\gamma_0 = 1.8 \cdot 10^7$  э<sup>-1</sup>с<sup>-1</sup> – гиromагнитное отношение,  $\hat{b}_j = b_j + H_0/M_{0j}$ ,  $b_j > 0$  – постоянная магнитной анизотропии среды,  $\Phi^{(j)}$  – магнитостатический потенциал.

Границные условия на  $x_2 = 0$  для рассматриваемой задачи будут иметь вид

$$\Phi^{(1)} - \Phi^{(2)} = 0, \quad \frac{\partial \Phi^{(1)}}{\partial x_2} - \rho_1 \mu_2^{(1)} = \frac{\partial \Phi^{(2)}}{\partial x_2} - \rho_2 \mu_2^{(2)} \quad (2)$$

а из условия периодичности, кроме того, имеем

$$\begin{aligned} \Phi^{(1)}(x_1, h_1, t) &= \Phi^{(2)}(x_1, -h_2, t) \\ \frac{\partial \Phi^{(1)}}{\partial x_2} - \rho_1 \mu_2^{(1)} \Big|_{x_2=h_1} &= \frac{\partial \Phi^{(2)}}{\partial x_2} - \rho_2 \mu_2^{(2)} \Big|_{x_2=-h_2} \end{aligned} \quad (3)$$

### Решение поставленной задачи

Представим решение уравнения (1) в виде

$$\begin{aligned} \Phi^{(j)}(x_1, x_2, t) &= \hat{\Phi}^{(j)}(x_2) e^{i(\omega t + kx_1)} \\ \mu_2^{(j)}(x_1, x_2, t) &= \hat{\mu}_2^{(j)}(x_2) e^{i(\omega t + kx_1)} \\ \mu_1^{(j)}(x_1, x_2, t) &= \hat{\mu}_1^{(j)}(x_2) e^{i(\omega t + kx_1)} \end{aligned} \quad (4)$$

Удовлетворяя уравнению (1), получим

$$\begin{aligned} i\rho_j \hat{\mu}_1^{(j)} &= -|k| P_j e^{ikx_2} A_j - |k| Q_j e^{-ikx_2} B_j \\ P_j \hat{\mu}_2^{(j)} &= -|k| P_j e^{ikx_2} A_j + |k| Q_j e^{-ikx_2} B_j \\ \hat{\Phi}^{(j)}(x_2) &= e^{ikx_2} A_j + e^{-ikx_2} B_j \end{aligned} \quad (5)$$

где для краткости введены следующие обозначения:

$$P_j = \frac{\omega_{0j}}{\hat{b}_j \omega_{0j} - \sigma \omega}, \quad Q_j = \frac{\omega_{0j}}{\hat{b}_j \omega_{0j} + \sigma \omega}, \quad \sigma = |k|/k \quad (6)$$

а постоянные  $A_j$  и  $B_j$  определяются из граничных условий (2)-(3).

Подставляя решения (4) в граничные условия (2)-(3), из условия нетривиальности решения получим следующее дисперсионное уравнение:

$$(\sigma\Omega)^4 - B(\sigma\Omega)^2 + C = 0 \quad (7)$$

где

$$\begin{aligned} B &= (\tilde{b}_1 - \chi \tilde{b}_2)^2 + 2\chi(\tilde{b}_1 \tilde{b}_2 - 1/4) - D^2[(1-\chi)/2]^2 \\ C &= \chi^2[(\tilde{b}_1 \tilde{b}_2 - 1/4)^2 - D^2(\tilde{b}_1 - \tilde{b}_2)^2] \\ \tilde{b}_j &= \hat{b}_j + 1/2, \quad \lambda = h_2/h_1, \quad \sigma = |k|/k, \quad D = (e^{\lambda|k|} - e^{-k})/(e^{(1+\lambda)k} - 1) \\ \Omega &= \frac{\omega}{\omega_{01}} = \frac{\omega}{\gamma_0 \rho_1 \mu_{01}}, \quad \chi = \frac{\omega_{02}}{\omega_{01}} = \frac{\rho_2 \mu_{02}}{\rho_1 \mu_{01}} \end{aligned} \quad (8)$$

Из дисперсионного уравнения (7) следует, что частота спиновых волн в общем случае зависит от толщины чередующихся слоев. Для наглядности рассмотрим частный случай, когда  $h_1 = h_2$ . Тогда дисперсионное уравнение (7) упрощается и принимает вид

$$Q^+(\sigma\Omega) \cdot Q^-(\sigma\Omega) = 0 \quad (9)$$

где

$$Q^\pm(\sigma\Omega) = (\sigma\Omega)^2 \pm (\tilde{b}_1 - \chi \tilde{b}_2)(\sigma\Omega) - \chi(\tilde{b}_1 \tilde{b}_2 - 1/4)$$

откуда следует, что частота спиновых волн не зависит от толщины слоев.

Приведем решение уравнения (9)

$$\sigma\Omega = \frac{(\tilde{b}_1 - \chi \tilde{b}_2) \pm \sqrt{d}}{2} \quad \text{и} \quad \sigma\Omega = \frac{-(\tilde{b}_1 - \chi \tilde{b}_2) \pm \sqrt{d}}{2} \quad (10)$$

где

$$d = (\tilde{b}_1 + \chi \tilde{b}_2)^2 - \chi = (\tilde{b}_1 - \chi \tilde{b}_2)^2 + 4\chi(\tilde{b}_1 \tilde{b}_2 - 1/4) \geq 0$$

Из (10) следует, что при  $\chi \neq 0$  по положительному и отрицательному направлениям оси  $x_1$  распространяются волны с частотами

$$\begin{aligned} \Omega_I &= \frac{(\tilde{b}_1 - \chi \tilde{b}_2) + \sqrt{(\tilde{b}_1 + \chi \tilde{b}_2)^2 - \chi}}{2} \quad \text{и} \\ \Omega_H &= \frac{-(\tilde{b}_1 - \chi \tilde{b}_2) + \sqrt{(\tilde{b}_1 + \chi \tilde{b}_2)^2 - \chi}}{2} \end{aligned} \quad (11)$$

Отметим, что в случае двух полупространств по направлению положительной оси  $x_1$  распространяется только лишь одна волна с частотой  $\Omega_I$ , а по отрицательной оси  $x_1$  распространяется только лишь одна волна с частотой  $\Omega_H$ . Как видно из (11), обе частоты не зависят от волнового числа  $k$ .

В случае, когда второй слой вакуум ( $\chi = 0$ ), из (11) получим

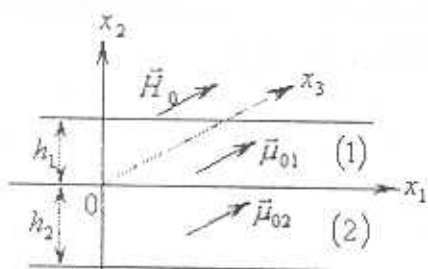
$$\Omega_I = (\tilde{b}_1 + 1/2) = \Omega_{DE}, \quad \Omega_H = 0 \quad (12)$$

Отметим, что частота  $\Omega_{DE} = \tilde{b}_1 + 1/2$  является частотой поверхностных спиновых волн (частота поверхностных волн Деймона-

Эшбаха[3]), распространяющихся по поверхности ферромагнитного полупространства, граничащего с вакуумом.

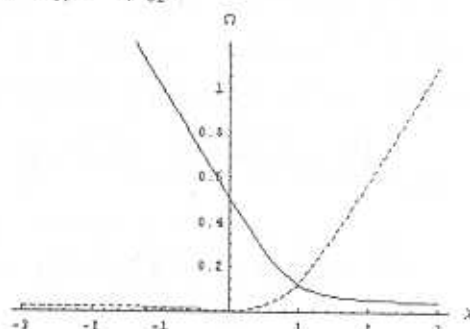
Из (12) следует также, что по слою распространяется спиновая волна с частотой Деймона-Эшбаха по обоим направлениям оси  $x_1$ . Заметим, что в случае полупространства волна Деймона-Эшбаха распространяется только по одному направлению оси  $x_1$ .

Из (11), при фиксированных значениях параметров  $\hat{b}_1$  и  $\hat{b}_2$ , видно следующее. С увеличением параметра  $\chi$  до нуля, обе частоты  $\Omega_1$  и  $\Omega_{II}$  уменьшаются, причем всегда  $\Omega_{II} < \Omega_1$ . При  $\chi = 0$  частота  $\Omega_{II} = 0$ , а частота  $\Omega_1$  по величине равняется частоте Деймона-Эшбаха, т.е.  $\Omega_1 = \Omega_{DE}$ . Дальнейшее увеличение параметра  $\chi$  приводит к появлению и увеличению (с нуля) исчезнувшей частоты  $\Omega_{II}$  и уменьшению частоты  $\Omega_1$ . При  $\chi = \tilde{b}_1/\tilde{b}_2$  значения частот  $\Omega_1$  и  $\Omega_{II}$  совпадают. Это означает, что по обоим слоям распространяются волны с равными частотами. Далее, увеличение параметра  $\chi$  приводит к увеличению частоты  $\Omega_{II}$  и уменьшению частоты  $\Omega_1$ . На фиг.2 приведен график зависимости частот  $\Omega_1$  и  $\Omega_{II}$  от параметра  $\chi$  при  $\hat{b}_1 = 0.01$  и  $\hat{b}_2 = 0.02$ . Пунктирная линия показывает изменение частоты  $\Omega_{II}$  от  $\chi$ , а сплошная линия — изменение частоты  $\Omega_1$ . Заметим, что значением  $\chi < 0$  соответствует случай, когда  $\bar{\mu}_{01} \uparrow \downarrow \bar{\mu}_{02}$ , а  $\chi > 0$  — случай, когда  $\bar{\mu}_{01} \uparrow \uparrow \bar{\mu}_{02}$ .



Фиг.1

Слоистая ферромагнитная среда в магнитном поле.



Фиг.2

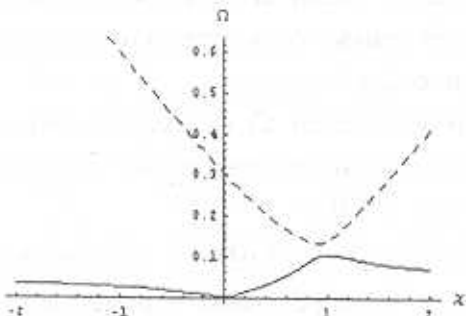
Зависимость частот от параметра  $\chi$ , найденное на основе решений (11).

Перейдем к исследованию более общего уравнения (7). Поскольку это уравнение при  $|k| \rightarrow \infty$  превращается в уравнение (9), то частоты, которые определяются по (9), будут горизонтальными асимптотами для решений уравнения (7) при любых значениях параметра  $\lambda$ . Чтобы определить еще точки пересечения кривых — решений уравнения (7) — с осью  $\Omega$ , следует рассмотреть уравнение (7) при  $|k| \rightarrow 0$ . При этом

$\lim_{k \rightarrow 0} D^2 = (\lambda - 1)^2 / (\lambda + 1)^2$  и коэффициенты уравнения (7) примут следующий вид:

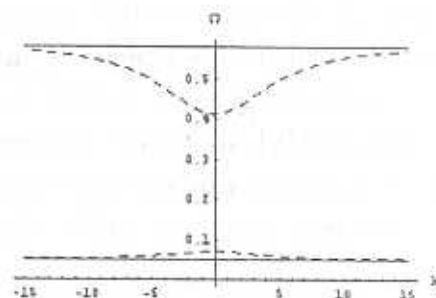
$$B = (\tilde{b}_1 - \chi \tilde{b}_2)^2 + 2\chi(\tilde{b}_1 \tilde{b}_2 - 1/4) - \left(\frac{1-\chi}{2}\right)^2 (\lambda - 1)^2 / (\lambda + 1)^2$$

$$C = \chi^2 \left[ (\tilde{b}_1 \tilde{b}_2 - 1/4)^2 - (\tilde{b}_1 - \tilde{b}_2)^2 (\lambda - 1)^2 / (\lambda + 1)^2 \right] \quad (13)$$



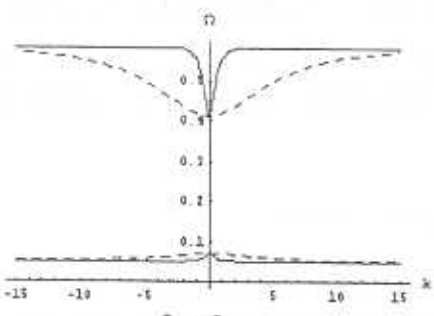
Фиг.3.

Зависимость частот от параметра  $\chi$  ( $|k| \rightarrow 0, \lambda = 0.1, \hat{b}_1 = 0.01, \hat{b}_2 = 0.02$ )



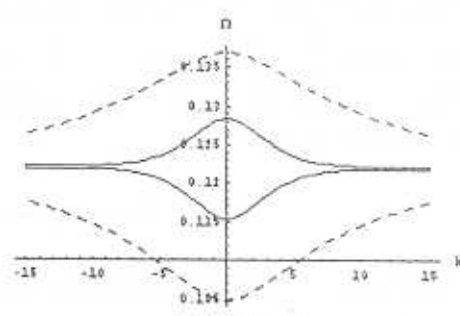
Фиг.4.

Зависимость частот  $\Omega$  от волнового числа  $k$  ( $\chi = 2, \hat{b}_1 = 0.01, \hat{b}_2 = 0.02$ ).



Фиг.5.

Зависимость частот  $\Omega$  от волнового числа  $k$  ( $\chi = 2, \hat{b}_1 = 0.01, \hat{b}_2 = 0.02$ )



Фиг.6.

Зависимость частот  $\Omega$  от волнового числа  $k$  ( $\chi = 0.98, \hat{b}_1 = 0.01, \hat{b}_2 = 0.02$ )

Таким образом, каждая кривая, которая является решением уравнения (7), в общем случае, "начинается" с некоторого значения  $\Omega$  при  $k = 0$  и распространяется симметрично по двум разным направлениям оси  $k$ . Эти кривые стремятся к соответствующим горизонтальным асимптотам, которые определяются по (11).

На фиг.3 показано решение уравнения (7) в зависимости от параметра  $\chi$ , когда его коэффициенты определяются по формулам (13) при  $\lambda = 0.1, \hat{b}_1 = 0.01, \hat{b}_2 = 0.02$ . Кривые показывают изменение

"начальных точек" (точек пересечения кривых — решений общего уравнения (7) — с осью  $\Omega$ ) в зависимости от параметра  $\chi$ . Прерывистые и сплошные кривые соответствуют большей и меньшей по значению частоте при  $|k| \rightarrow 0$  соответственно, т.е. решениям уравнения (7).

Аналогичная картина получается и при других значениях  $\hat{b}_1$ ,  $\hat{b}_2$  и  $\lambda \neq 1$ .

На фиг.4 приведен график зависимости частот  $\Omega$  от волнового числа  $k$  при  $\lambda = 1$  и при  $\lambda = 0.1$ . Пунктирные кривые соответствуют значению  $\lambda = 0.1$ , а сплошные кривые — значению  $\lambda = 1$ .

На фиг.5 приведен график зависимости частот  $\Omega$  от волнового числа  $k$  при  $\lambda = 0.1$  и  $\lambda = 10$ . Пунктирные кривые соответствуют значению  $\lambda = 0.1$ , а сплошные кривые — значению  $\lambda = 10$ .

Из этих графиков видно, что зависимость частоты  $\Omega$  от волнового числа  $k$  существенна, когда  $\lambda \neq 1$ . При фиксированных параметрах  $\hat{b}_1$ ,  $\hat{b}_2$  и  $\lambda \neq 1$  аналогичные картины получаются и почти при всех значениях параметра  $\chi$ , кроме таких, которые "близки" значению  $\hat{b}_1/\hat{b}_2$ . При таких значениях параметра  $\chi$  картина намного другая (фиг.6). На фиг. 6 пунктирные кривые соответствуют значению  $\lambda = 0.1$ , а сплошные кривые — значению  $\lambda = 10$ . Таким образом, при фиксированных значениях параметров  $\hat{b}_1$ ,  $\hat{b}_2$  и  $\lambda \neq 1$ , параметр  $\chi$  также может существенно изменить картину распространения спиновых волн в периодически неоднородной среде.

### Обсуждение результатов

Настоящая работа посвящена изучению распространения спиновых волн в периодической ферромагнитной среде с чередованием двух слоев толщины  $h_1$  и  $h_2$ . При решении задачи предполагалось, что векторы начальной намагниченности сред могут быть как параллельны, так и антипараллельны. Случай антипараллельности векторов начальных намагниченостей, в каком-то смысле, моделирует распространение спиновых волн в антиферромагнетиках. Рассматриваются распространения волн по оси  $x_1$ . Для проведения детального анализа распространения спиновых волн отдельно рассматриваются случаи, когда толщины слоев равны и не равны между собой.

Когда толщины слоев равны между собой ( $h_1 = h_2$ ), показано, что частота волн не зависит от волнового числа. А в общем случае ( $h_1 \neq h_2$ ) зависимость частоты  $\Omega$  от волнового числа  $k$  значительна по сравнению

со случаем  $h_1 = h_2$ . Из проделанного анализа видно, что учет неоднородности среды может качественно и количественно изменить картину частот спиновых волн, по сравнению с аналогичными волнами, распространяющимися в однородной среде.

Автор благодарит академика Багдасаряна Г.Е. и к.ф.м.н. Асаняна Д.Д. за постановку задачи и обсуждение результатов.

#### ЛИТЕРАТУРА

1. Можен Ж. Механика электромагнитных сплошных сред. М.: Мир, 1991. 560 с.
2. Асанян Д.Д., Багдасарян Г.Е., Саакян С.Л. Поверхностные спиновые волны в слоистых средах // Proc. of Int. Conference "Applied and Mathematical Aspects of Natural Sciences", Information Technologies and Management, 3, pp. 34-44, 1999.
3. Damon R. W., Eshbach J. R. (1961). Magnetostatic Modes of a Ferromagnetic Slab.- J. Phys. Chem. Solids, 19, pp. 308-320.

Ереванский государственный  
университет

Поступила в редакцию  
21.05.2001